



SOCIEDADE BRASILEIRA
DE DERMATOLOGIA

Anais Brasileiros de Dermatologia

www.anaisdedermatologia.org.br



CARTAS - CASO CLÍNICO

Erupção cutânea e mucosite induzidas por micoplasma (MIRM) imitando estomatite herpética^{☆,☆☆}



Prezado Editor,

Paciente do sexo masculino, de 20 anos, apresentou histórico de três dias de lesões orais dolorosas que impediam a ingestão oral, além de lesões escrotais. Ele se lembrou de episódio de dor de garganta e tosse dez dias antes, que havia sido resolvido completamente após autotratamento com ibuprofeno e duas doses de amoxicilina associada ao ácido clavulânico. O paciente tinha histórico de herpes labial, mas não havia tido episódio nos últimos meses. Ele estava bem, afebril e sem sintomas sistêmicos.

Ao exame, foram observadas lesões aftosas fundo esbranquiçado confluentes em padrão herpetiforme na mucosa oral e gengivite leve (fig. 1A-D), juntamente com três placas anulares com centro crostoso na pele escrotal (fig. 1F). Não havia envolvimento ocular ou da mucosa genital. A auscultação cardiolaringea e o exame de sangue, incluindo hemograma completo e painel bioquímico geral, foram normais. Amostras microbiológicas e biopsia da lesão escrotal foram coletadas.

O diagnóstico diferencial inicial incluiu erupção cutânea e mucosite induzidas por micoplasma (MIRM, do inglês *mycoplasma-induced rash and mucositis*) ou erupção mucocutânea infecciosa reativa (RIME, do inglês *reactive infectious mucocutaneous eruption*); toxicodermia dentro do espectro de eritema multiforme (EM) – síndrome de Stevens-Johnson (SSJ) – necrólise epidérmica tóxica (NET); e estomatite herpética com EM menor. O paciente iniciou tratamento com dexametasona 4 mg diariamente por três dias, valaciclovir e acetônido de triancinolona tópica. No seguimento, 72 horas depois, as lesões desapareceram.

A sorologia foi positiva para *Mycoplasma pneumoniae* (anticorpos IgM e IgG), vírus do herpes-simples (HSV; apenas anticorpos IgG) e negativa para HIV, vírus da hepatite e sifilis. A reação em cadeia de polimerase (PCR) das lesões orais foi negativa para HSV tipos 1 e 2.

A histopatologia revelou denso infiltrado inflamatório na derme superficial e média, predominantemente composto por linfócitos e células polimorfonucleares. O dano à interface era evidente, com clivagem subepidérmica e queratinócitos apoptóticos (fig. 2).

A mucosite aguda com envolvimento mínimo ou ausente da pele foi descrita sob termos como "SSJ atípica", "SSJ sem lesões cutâneas" e "síndrome de Fuchs".¹ Em 2015, Canavan et al. introduziram o termo MIRM para diferenciar as erupções mucocutâneas específicas ligadas a *M. pneumoniae* da SSJ induzida por medicamentos, NET e EM relacionada ao herpes.¹⁻⁴ Nos últimos anos, outros patógenos como *Chlamydophila pneumoniae*, influenza B, parainfluenzavírus, adenovírus, metapneumovírus, rinovírus, enterovírus, estreptococos do grupo A e SARS-CoV-2 foram relatados como desencadeadores de reações mucocutâneas semelhantes.^{1,2} Isso levou ao conceito de RIME, que reflete o espectro de agentes infecciosos capazes de induzir essas erupções.^{1,2}

A MIRM é afecção incomum, afetando predominantemente crianças e adultos jovens, caracterizada por mucosite proeminente com envolvimento cutâneo limitado, tipicamente precedida por sintomas inespecíficos semelhantes aos da gripe que se manifestam de sete a dez dias antes do início mucocutâneo.¹ As lesões cutâneas vesiculobolhosas e atípicas em forma de alvo se assemelham às do EM, SSJ e NET. Entretanto, a MIRM apresenta resultados clínicos, fisiopatológicos e prognósticos distintos que a diferenciam dessas condições.²⁻⁴ O diagnóstico diferencial também deve abranger infecções virais (p. ex., HSV, Epstein-Barr, citomegalovírus, Coxsackie A6 e HIV), candidíase oral, exposição a substâncias cáusticas e doenças autoimunes como pênfigo vulgar.⁴⁻⁶

A fisiopatologia subjacente à MIRM permanece obscura; entretanto, há a hipótese de envolver proliferação de células B policlonais e produção de anticorpos após infecção por *M. pneumoniae*, levando à deposição de complexo imune e ativação do complemento. Além disso, o mimetismo molecular entre moléculas de adesão P1 do micoplasma e antígeno de queratinócitos, bem como suscetibilidade genética, foram propostos.⁴

DOI referente ao artigo:

<https://doi.org/10.1016/j.abd.2025.501138>

☆ Como citar este artigo: Becerril Andrés S, Cabral AAC, Baeza-Hernández G. Mycoplasma-Induced Rash and Mucositis (MIRM) mimicking herpetic stomatitis. An Bras Dermatol. 2025;100:501138.

☆☆ Trabalho realizado no Departamento de Dermatologia, Complejo Asistencial Universitario de Salamanca, Salamanca, Espanha.

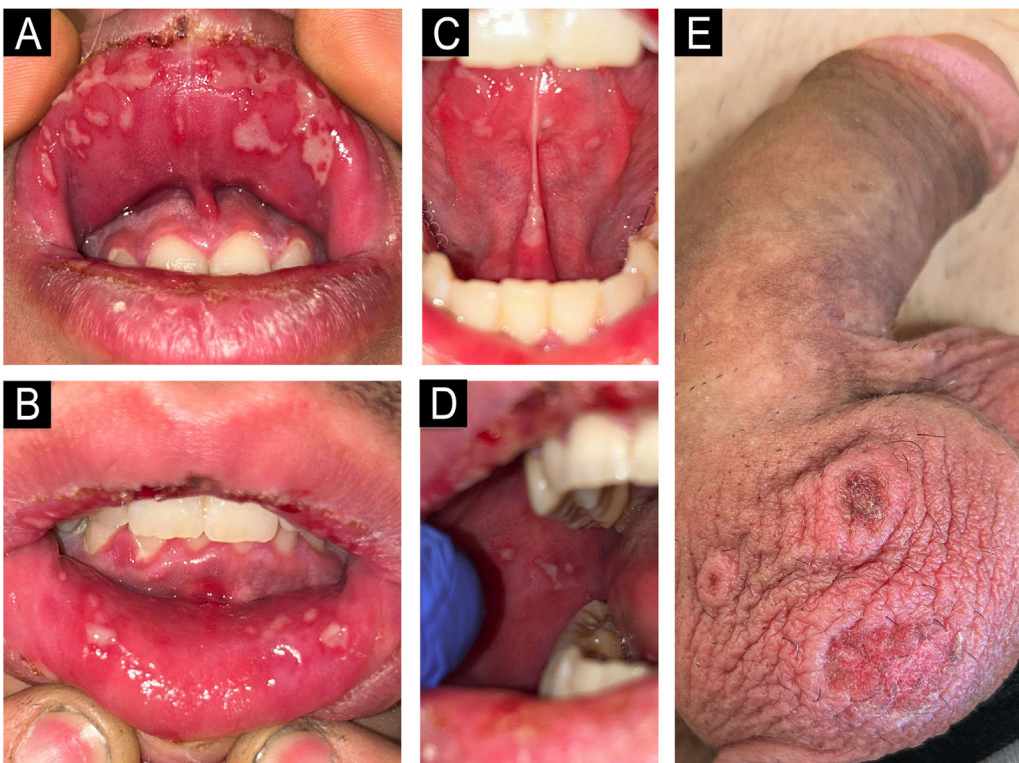


Figura 1 Imagens clínicas. (A-D) Lesões aftosas brancas, com fundo esbranquiçado, confluentes em padrão herpetiforme na mucosa oral e gengivite leve. (F) Três placas anulares com centro crostoso na pele escrotal.

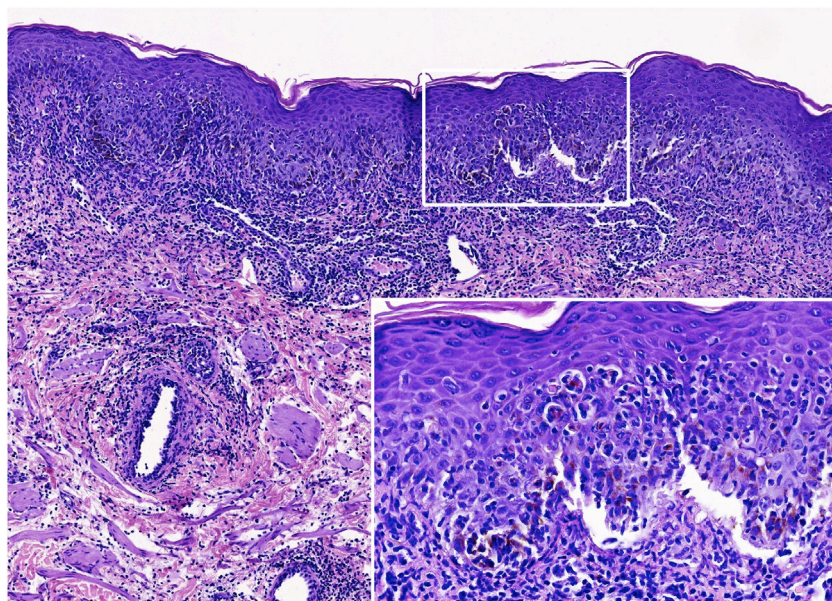


Figura 2 Histopatologia da lesão escrotal mostrando denso infiltrado inflamatório na derme superficial e média, predominantemente composto de linfócitos e células polimorfonucleares. O dano à interface é evidente, com clivagem subepidérmica e queratinócitos apoptóticos (Hematoxilina & eosina; 160 \times e 800 \times – detalhe).

Histologicamente, as lesões de MIRM/RIME compartilham características com EM, SSJ e NET, incluindo queratinócitos apoptóticos, necrose de toda a epiderme com clivagem subepidérmica e infiltrado dérmico superficial com linfócitos perivasculares esparsos.^{1,5,6}

A PCR surgiu como o “padrão ouro” para estabelecer a etiologia microbiológica da pneumonia adquirida na comunidade, oferecendo maior sensibilidade para detectar *M. pneumoniae* ou *C. pneumoniae*, particularmente nos estágios iniciais da infecção.⁷ A detecção sorológica

específica pode ser valiosa para o diagnóstico retrospectivo, particularmente quando as amostras são coletadas com pelo menos duas semanas de intervalo para avaliar a soroconversão ou o aumento de quatro vezes nos títulos de anticorpos.^{4,7} Os anticorpos *M. pneumoniae*-IgM aparecem após uma semana do início clínico, atingindo o pico em torno da terceira semana e servindo como marcador de infecção recente.⁷ Os anticorpos *M. pneumoniae*-IgG aparecem cerca de duas semanas após a infecção, atingem o pico em cinco semanas e persistem em longo prazo.⁷

O prognóstico é geralmente bom, com baixas taxas de sequelas e boa resposta terapêutica a antibióticos e/ou esteroides sistêmicos.⁴

O presente caso destaca a importância de considerar MIRM/RIME no diagnóstico diferencial de mucosite. O histórico de sintomas respiratórios recentes sem exposição a medicamentos pode sugerir infecção por *M. pneumoniae* ou *C. pneumoniae*, ajudando a diferenciar essas condições de SSJ e NET. O reconhecimento precoce e o tratamento direcionado são essenciais para o tratamento ideal.

Suporte financeiro

Nenhum.

Contribuição dos autores

Sara Becerril Andrés: Acesso aos dados; elaboração e redação do manuscrito.

Adolfo Alejandro Cabanillas Cabral: Acesso aos dados; elaboração e redação do manuscrito.

Gloria Baeza-Hernández: Acesso aos dados; elaboração e redação do manuscrito.

Conflito de interesses

Nenhum.

Referências

- Vassallo C, Ruffo Di Calabria V, Isoletta E, Biscarini S, Di Filippo A, Brazzelli V. Clinical and microbiological characteristics of reactive infectious mucocutaneous eruption: a case series of 5 patients. JAAD Case Rep. 2021;17:152–6.
- Song A, Nicholson C, Maguiness S. Recurrent reactive infectious mucocutaneous eruption (RIME) in two adolescents triggered by several distinct pathogens including SARS-CoV-2 and influenza A. Pediatr Dermatol. 2021;38:1222–5.
- Canavan TN, Mathes EF, Frieden I, Shinkai K. Mycoplasma pneumoniae-induced rash and mucositis as a syndrome distinct from Stevens-Johnson syndrome and erythema multiforme: a systematic review. J Am Acad Dermatol. 2015;72:239–45.
- Mayor-Ibarguren A, Feito-Rodriguez M, González-Ramos J, Del Rosal-Rabes T, González-Sainz FJ, Sánchez-Orta A, et al. Mucositis secondary to Chlamydia pneumoniae infection: expanding the mycoplasma pneumoniae-induced rash and mucositis concept. Pediatr Dermatol. 2017;34:465–72.
- Lofgren D, Lenkeit C. Mycoplasma pneumoniae-induced rash and mucositis: a systematic review of the literature. Spartan Med Res J. 2021;6:25284.
- Ben Rejeb M, Ben Hammouda M, Korbi M, Belhadjali H, Toumi A, Youssef M, et al. Mycoplasma pneumoniae-induced rash and mucositis: a new entity. Indian J Dermatol Venereol Leprol. 2022;88:349–53.
- Gao L, Sun Y. Laboratory diagnosis and treatment of *Mycoplasma pneumoniae* infection in children: a review. Ann Med. 2024;56:2386636.

Sara Becerril Andrés  ^{a,*},
Adolfo Alejandro Cabanillas Cabral  ^b
e Gloria Baeza-Hernández 

^a Departamento de Dermatología, Hospital Universitario de La Plana, Castellón, Espanha

^b Departamento de Dermatología, Complejo Asistencial Universitario de Salamanca, Salamanca, Espanha

* Autor para correspondencia.

E-mail: sarabecerrilandres@gmail.com (S. Becerril Andrés).

Recebido em 26 de novembro de 2024; aceito em 30 de dezembro de 2024